

架設中の補剛げたの耐風対策に関する一試案とその応力

がまく変形について

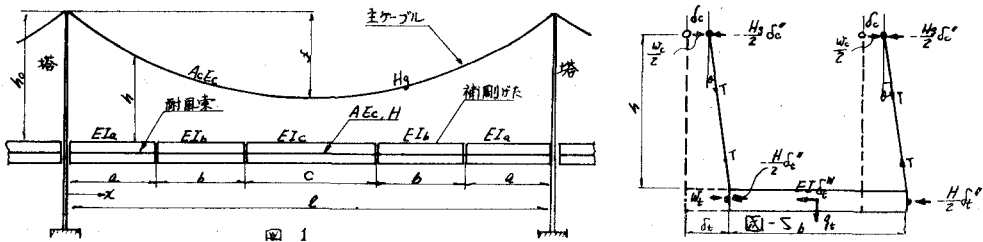
日本道路公团 正員 村上乙里

まえがき

吊橋の補剛げたは一般に架設中は剛性が小さい。これは架設がすすむにつれてケーブルが変形し架設完了時にわたって強烈力がなく補剛げたの開合ができるため、でき子だけとり開合は架設がすすんでから行なはれるからである。しかし補剛げた剛性をもたせない状態で風荷重が作用すると部材の破損などが生ずる場合もある。ここではこのような架設中の補剛げたの耐風対策としてキヤットラオーケストームケーブルを補剛げたの主構面に位置するよう張換して耐風索として用いる。この耐風索には適当なプレテンションを導入すると共に補剛げたブロックに吸収付する。このことによって風荷重載荷時の補剛げたの変形を小さくすることができます、また維手部の破損やブロックの振動をおさえることも期待できる。本論では前記耐風対策について静的風荷重が作用した場合の変形および応力を求めたものである。

1. 考察

補剛げたの架設は中央径間にについて一般に左右対称に架設されるので二二では図-1によすように構造について考察する。ただし a, b, c 区間は架設状態（補剛げたが剛性をもっている、有していないおよぶ架設されていない）による区分である。また風荷重が作用した場合、ケーブルおよび補剛げたは図-2 のように変形する。



補剛げたおよび耐風索の水平つまり式は、

$$EI\delta_t'' - Hg\delta_c'' = w_t - g_t(\delta_t - \delta_c/h) \quad (1)$$

とす。ただし E = 補剛げたの弾性係数(N/mm²), I = 補剛げたの断面=次モーメント(mm⁴), δ_t = 補剛げたおよび耐風索の水平変位(m), δ_c = ケーブルの水平変位(m), g_t = 補剛げたの自重(kN/m), w_t = 補剛げたの風荷重(kN/m), h = 吊弦長(m), $H = H_d + H_p$, H_d = 耐風索のプレテンション(t), H_p = 耐風索の変形による張力の増分(t)である。また a, b, c および C 区間にについては上記を号ヒサヒックス a, b, c を付けるものとする。

ケーブルおよび補剛げたの水平つまり式は

$$EI\delta_t'' - H\delta_t'' - Hg\delta_c'' = w \quad (2)$$

とす。ただし Hg = 主ケーブルの水平張力(t), $w = w_c + w_t$, w_c = 主ケーブルの風荷重(kN/m)である。式(1)および式(2)の積分より, $EI\delta_t'' - (H + g_t \cdot EI/h \cdot Hg)\delta_t'' + g_t\delta_t(1 + H/Hg)/h = w_t - g_t(\frac{w_t}{h}x^2 + K_1x + K_2)/h \cdot Hg \quad (3)$

う。左辺は K_1 および K_2 の積合は定数である。式(3)を各区间に適用する場合の端条件は次のようになります。
 ① $x=a$ かつ $\delta t_a = \delta t_a'' = \delta t a = 0$ より, $K_{2a} = 0$ ② $x=a$ かつ $\delta t_a = \delta t_b$, $\delta t_a'' = \delta t_b'' = 0$ $\delta t a = \delta t b$
 より $K_1 a - K_2 b = -a^2 w_b/2$, また $\delta c_a = \delta c_b$ より $E I a \delta t_a''' - H \delta t_a - E I_b \delta t_b''' + H \delta t_b - K_1 a + K_2 b = a w_b$,
 また $E I_a \delta t_a''' - H \delta t_a - E I_b \delta t_b''' + H \delta t_b = 0$ である。③ $x=a+b$ かつ $\delta t_b = \delta t_c$, $\delta t_b'' = \delta t_c'' = 0$, $\delta c_b = \delta c_c$
 より $-b K_1 b - K_2 b + K_2 c = b^2 w_b/2$, また $\delta c_b = \delta c_c$ より $E I_b \delta t_b''' - H \delta t_b - E I_c \delta t_c''' + H \delta t_c - K_1 b + K_2 c = b w_b$,
 また $E I_b \delta t_b''' - H \delta t_b - E I_c \delta t_c''' + H \delta t_c = 0$ である。④ $x=b$ かつ $\delta t_c = \delta t_c''' = \delta t c = 0$ より $K_{1c} = -c w_c/2$
 である。左辺は $C = \frac{b}{2} - a - b$ である。式(3)の近似解としてそれぞれの区间について次の級数を用います。

$$\delta t_a = \sum_{i=1}^n a_i \sin \frac{i\pi}{a} x + \frac{\delta a}{a} x \quad 0 \leq x \leq a \quad \dots \dots \dots \quad (4)$$

$$f(x) = \sum_{i=1}^n b_i \sin \frac{ix}{b} (x-a) + \frac{\delta b - \delta a}{b} (x-a) + \delta a \quad a \leq x \leq a+b \quad \dots \dots \dots (5)$$

$$\delta_{ec} = \sum_{i=1}^n C_i \sin \frac{(2i-1)\pi}{c}(x-a-b) + \delta_b \quad a+b \leq x \leq \frac{\ell}{2} \quad \text{--- --- --- (6)}$$

左辺に a_i, b_i, c_i および δ_a, δ_b は未知数である。式(3)から(4)～(6)を代入すると、

$$\sum_{i=1}^{\infty} C_i \left[E[I_a \left(\frac{z\pi}{a} \right)^4 + (H+g_{ea} EI_a/h Hg) \left(\frac{z\pi}{a} \right)^2 + g_{ea}(1+\frac{H}{Hg})/h] \sin \frac{iz\pi}{a} x + (1+\frac{H}{Hg}) g_{ea} \delta_a x / h \right] = w_{ta} - \frac{g_{ea}}{h Hg} \left(\frac{w_a}{Z} x^2 + K_a x \right) \quad \dots \dots (7)$$

$$\sum_{i=1}^{\infty} C_i \left[E[I_b \left(\frac{z\pi}{b} \right)^4 + (H+g_{eb} EI_b/h Hg) \left(\frac{z\pi}{b} \right)^2 + g_{eb}(1+\frac{H}{Hg})/h] \sin \frac{iz\pi}{b} (x-a) + (1+\frac{H}{Hg})(1-\frac{x-a}{b}) g_{eb} \delta_b x / h + (1+\frac{H}{Hg})(x-a) g_{eb} \delta_b / h \right] = w_{tb} - \frac{g_{eb}}{h Hg} \left\{ \frac{w_b}{Z} (x-a)^2 + K_b (x-a) + K_{2b} \right\} \quad \dots \dots \dots \dots (8)$$

$$\sum_{i=1}^{\infty} C_i \left[E[I_c \left(\frac{(2i-1)\pi}{c} \right)^4 + (H+g_{ec} EI_c/h Hg) \left(\frac{(2i-1)\pi}{c} \right)^2 + g_{ec}(1+\frac{H}{Hg})/h] \sin \frac{(2i-1)\pi}{c} (x-a-b) + (1+\frac{H}{Hg}) g_{ec} \delta_c / h \right] = w_{tc} - \frac{g_{ec}}{h Hg} \left\{ \frac{w_c}{Z} (x-a-b)^2 - \frac{w_c}{Z} C(x-a-b) + K_{2c} \right\} \quad \dots \dots \dots \dots (9)$$

もう3. 式(7)～(9)から以下の条件式①～④より未知数を求めることができる。また耐風索の張力の増分は近似的に次式で求めることができます。

$$H_p = \frac{AEc}{\ell} \left[\frac{1}{4} \delta a^2 + \frac{1}{6} (\delta_b - \delta a)^2 + \frac{\pi^2}{2a} \sum_{i=1}^{\infty} i^2 a_i^2 + \frac{\pi^2}{2b} \sum_{i=1}^{\infty} i^2 b_i^2 + \frac{\pi^2}{4c} \sum_{i=1}^{\infty} (2i-1)^2 C_i^2 \right] \quad \dots \quad (10)$$

2 數值計算例

上記考察について次の諸数値を用いて計算すると応力および変形は図-3のようになる。

$$l = 700 \text{ m}, f = 64 \text{ m}, h_0 = 66 \text{ m}, H_g = 8000 \text{ t}, H_d = 1000 \text{ t}, A = 0.0124 \text{ m}^2, E_c = 20.10^7 \text{ N/m}^2, w_c = 0.07 \text{ t/m}, g_{ta} = g_{tb} = g_{tc} = 5.0 \text{ t/m}$$

$$w_{ta} = w_{tb} = w_{tc} = 0.3 \text{ t/m}, EI_a = EI_b = 0.777.10^8 \text{ t.m}^2, EI_c = 0, a = 150 \text{ m}, b = 100 \text{ m}, c = 200 \text{ m}$$

あとがき

以上が静的風荷重による変位分布応力と求めたものであるが、種々の計算によると解風索は架設順序によっては変位をかえて3～4倍に大きくなる結果がある。しかし区間A、B、Cの変化に伴う最大変位は余り変化しないが、区間Aの応力は他の区間に比べて大きいことがわかる。

